

## РАСЧЕТ БАЛОК ПОСТОЯННОЙ ЖЕСТКОСТИ ПО ДВУМ ПРЕДЕЛЬНЫМ СОСТОЯНИЯМ

*Кобринец В.М. (Одесская государственная академия строительства и архитектуры, г. Одесса)*

Получены обобщенные характеристики изгибаемых элементов на основании гауссовой кривизны и гильбертова пространства. Показано их применение при расчете балок по двум предельным состояниям.

Деформированное состояние изгибаемых элементов характеризуется прогибом  $y(x)$  и кривизной нейтральной оси. По этим параметрам можно вычислить гауссову кривизну

$$K = \frac{y''(x)}{y(x)[1 + y'(x)^2]^{3/2}} \quad (1)$$

Для балочных конструкций  $y'(x)$  весьма мало по сравнению с единицей, поэтому расчеты выполняются в геометрически линейной постановке. В данном исследовании будем придерживаться этого допущения.

Рассмотрим шарнирно опертую балку загруженную равномерно-распределенной нагрузкой. Запишем кривизну и прогиб балки для произвольного сечения

$$y'' = \frac{q}{2EI} x(l-x), \quad (2)$$

$$y(x) = \frac{q}{24EI} (l-x)(l^2 + lx - x^2) \quad (3)$$

Вычислим гауссову кривизну для этого варианта загрузки, подставив (2) и (3) в (1)



$$K = \frac{12}{l^2 + lx - x^2} \quad (4)$$

Эта характеристика не зависит от величины нагрузки и изгибной жесткости.

Геометрическая интерпретация (4) представляет собой положительную гауссову кривизну поверхности, образованной вращением нейтральной оси  $x$  (Рис. 1). При этом главные радиусы

$$\rho_1 = \frac{EI}{M(x)}; \quad \rho_2 = y(x)$$

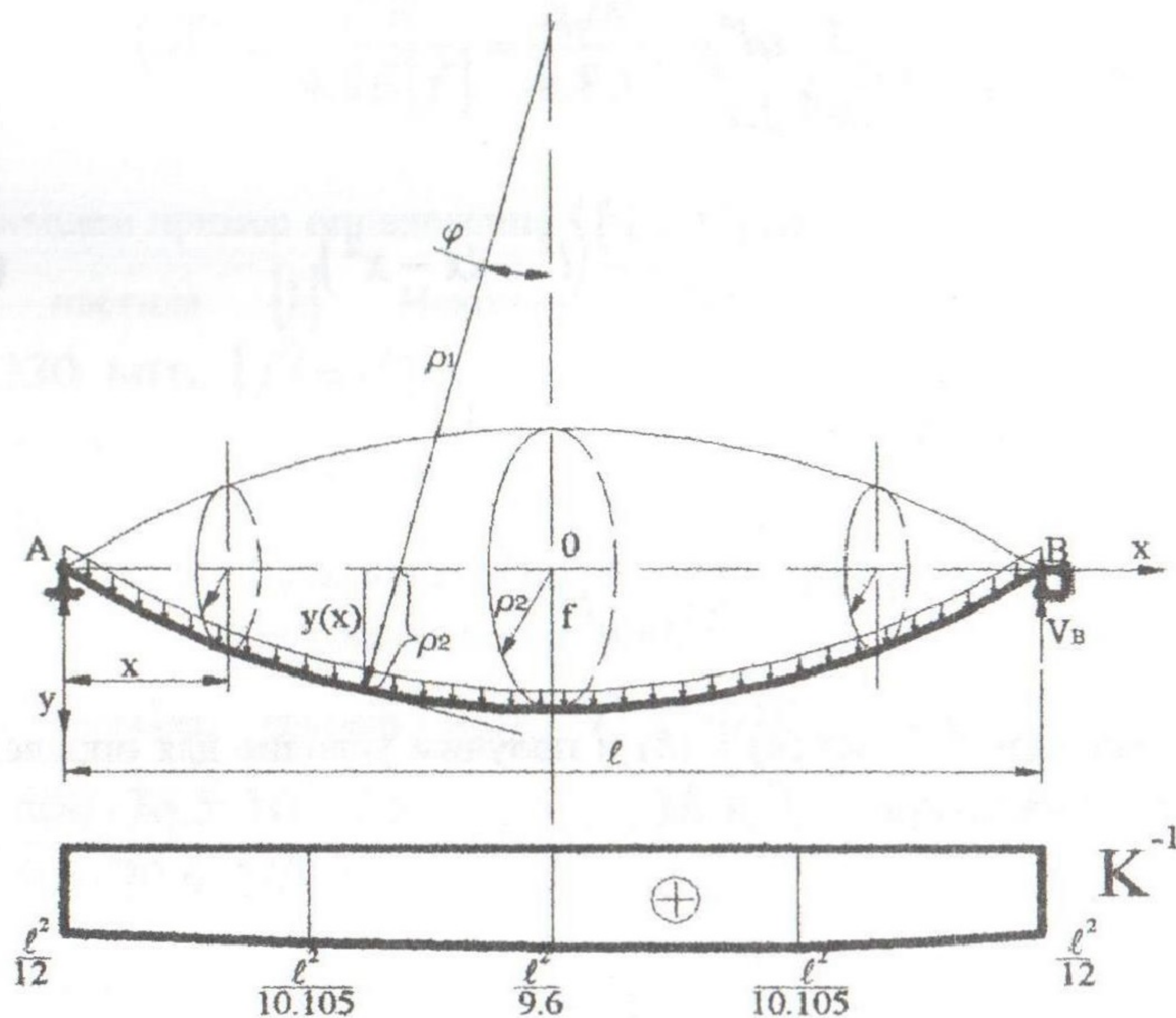


Рис. 1 Деформированное состояние балки  
 а) – поверхность вращения;  
 б) – эпюра обратной гауссовой кривизны



На рис. 1 показана эпюра  $K^{-1} = \rho_1 \rho_2$ . Первым инвариантом для балки с равномерно-распределенной нагрузкой будем считать

$$i_{1,q} = K^{-1}(y_2) = \frac{l^2}{9.6}. \quad (5)$$

Выразим  $\rho_1$  через  $M_{\max} = \frac{ql^2}{8}$

$$\rho_1 = \frac{EI^2}{4M_{\max}x(l-x)}, \quad (6)$$

$\rho_2$  через  $f_{\max} = \frac{5}{384} \frac{ql^4}{EI}$

$$\rho_2 = f_{\max} \frac{16x(l-x)}{5l^4} (l^2 + lx - x^2). \quad (7)$$

Подставим (6) и (7) в выражение для  $K^{-1}$

$$K^{-1} = \rho_1 \cdot \rho_2 = \frac{4EI f_{\max}}{5M_{\max} l^2} (l^2 + lx - x^2). \quad (8)$$

Приравняем  $K^{-1}$  из (4) к (8) и получим условие для определения отношения максимумов  $f$  и  $M$

$$\frac{f_{\max}}{M_{\max}} = \frac{l^2}{9.6EI}. \quad (9)$$

Это условие обладает замечательным свойством. Оно не зависит от выбора сечения по длине балки, т.е. от  $x$ . Это особенно важно для тех



случаев, когда максимальный прогиб и максимальный момент не совпадают.

Максимальные значения прогибов необходимо ограничить допускаемым  $f_{\max} \leq [f]$ , а максимальные напряжения пределом прочности  $\sigma_{\max} \leq R$ . При этих условиях из (9) получим требуемое значение параметров поперечного сечения

$$I_x^{Tp} = \frac{l^2 M_{\max}}{9.6E[f]}, \text{ либо } \left( \frac{f_x}{W_x} \right)^{Tp} = \frac{l^2 [R]}{9.6E[f]}. \quad (10)$$

Для симметричных сечений

$$(h)^{Tp} = \frac{l^2 R}{4.8E[f]} = \frac{n_0 l R}{4.8E}; \quad n_0 = \frac{l}{[f]}. \quad (11)$$

Приведем пример определения  $(h)^{Tp}$  для металлической прокатной балки настила [1]. Исходные данные:  $E = 2.06 \cdot 10^5$  МПа,  $R_y = 230$  МПа,  $[f] = l/250$ ,  $l = 600$  см,  $c_1 = 1.1$ . По формуле (11)  $h^{Tp} = 31.72$  см, – можно принять двутавр №30. если учесть, что прогиб определяется от нормативной нагрузки, то в формулах (10) и (11) необходимо в знаменателе ввести коэффициент надежности по нагрузкам, допустим  $\gamma_{fp} = 1.15$ . При максимальном моменте  $M_{\max} = 76.5$  кНм в работе [1] и подобран двутавр №27,  $I_x = 5010$  см<sup>4</sup>. По формуле (10)

$$I_x^{Tp} = \frac{600 \cdot 76.5 \cdot 10^5 \cdot 250}{9.6 \cdot 20.6 \cdot 10^6 \cdot 1.15} = 5045.63 \text{ см}^4.$$

Результаты расчета по существующей методике достоверны, так как они соответствуют самым общим критериям работы балок.

Проблему обобщенных характеристик можно рассмотреть с другой стороны. Изгибные моменты и прогибы – это функции, которые определены на одном и том же интервале  $0 \leq x \leq l$ . Значение этих функ-



ций вещественные. На заданном интервале можно выбрать  $n$  – значений  $x_i$  и для этих значений определить  $n$  – значений  $\rho_1(x_i)$  и  $\rho_2(x_i)$ . Такие функции образуют  $n$  – мерное векторное пространство. При сгущении узловых значений  $x_i$   $n$  – мерное пространство переходит в бесконечномерное. Следовательно, можно вычислить «длину вектора»  $\rho_1(x_i)$  и  $\rho_2(x_i)$ , которая называется нормой

$$\|\rho_1\|^2 = \int_0^l [\rho_1(x_i)]^2 dx; \quad \|\rho_2\|^2 = \int_0^l [\rho_2(x_i)]^2 dx. \quad (12)$$

Эти же функции позволяют вычислить скалярное произведение

$$\Gamma = (\rho_1, \rho_2) = \int_0^l \rho_1(x)\rho_2(x)dx. \quad (13)$$

Пространство функций со скалярным произведением и нормой образуют вещественное гильбертово пространство функций на заданном интервале  $0-l$  [2]. Интервалы могут быть другие и их может быть несколько. Функции могут быть непрерывные, разрывные и даже неограниченные, но интеграл (13) обязательно должен иметь конечное значение.

В данном случае интеграл (13) будет определять числовую характеристику для балок, которую назовем Гильбертовой.

Для шарнирно-опертой балки, загруженной распределенной нагрузкой в (13) нужно подставить  $\rho_1(x_i)$  и  $\rho_2(x_i)$ , по формулам (2) и (3) получим второй инвариант

$$I_{2,q} = \int_0^l \frac{2EI}{qx(l-x)} \cdot \frac{qx(l-x)}{24EI} (l^2 + lx - x^2) dx = \frac{7l^3}{72}. \quad (14)$$



Определим этот инвариант через  $\rho_1$  с максимальным моментом (6), и через  $\rho_2$  с максимальным прогибом (7)

$$\int_0^l \frac{EI_z l^2 \cdot 16x(l-x) \cdot (l^2 + lx - x^2) \cdot f_{\max}}{4M_{\max} x(l-x)} dx = \frac{14}{15} \cdot \frac{EI_z f_{\max} l}{M_{\max}} \quad (15)$$

Приравняем правые части выражений (15) и (14)

$$\frac{14}{15} \cdot \frac{EI_z f_{\max} l}{M_{\max}} = \frac{7l^3}{72},$$

откуда получаем условие максимумов

$$\frac{f_{\max}}{M_{\max}} = \frac{l^2}{9.6EI_z} \quad (16)$$

Первый инвариант (5) и второй (14) для одной и той же балки имеют разные значения. Но условия максимумов (9) и (16) получаются одинаковыми.

Приведем еще несколько инвариантов.

Для сосредоточенной силы  $P$  приложенной в середине пролета

$$I_{1.P} = \frac{l^2}{12}; \quad I_{2.P} = \frac{l^3}{9} \quad (17)$$

$$\frac{f_{\max}}{M_{\max}} = \frac{l^2}{12EI} \quad (18)$$

При чистом изгибе

$$I_{1.M} = \frac{l^2}{8}; \quad I_{2.M} = \frac{l^3}{12} \quad (19)$$



$$\frac{f_{\max}}{M_{\max}} = \frac{l^2}{8EI} \quad (20)$$

На основании вышеизложенного предлагается методика расчета балок по двум предельным состояниям. Покажем на примере, консольной балки, нагруженной силой на конце.

1. Определить  $M_{\max}$  и  $f_{\max}$

максимальный момент в закреплении  $M_{\max} = Pl_k$

максимальный прогиб под силой

$$f_{\max} = \frac{Pl_k^3}{3EI}$$

2. Определить отношение максимумов

$$\frac{f_{\max}}{M_{\max}} = \frac{l_k^3}{3EI \cdot Pl_k} = \frac{l_k^2}{3EI}$$

3. Ограничить

$$f_{\max} \leq [f]; \quad M_{\max} \leq RW_x$$

4. Подставить  $M_{\max}$  и  $f_{\max}$  в п.2.

$$\frac{[f]}{RW_x} = \frac{l_k^2}{3EI}$$

Используя условие максимумов, можно определить пролет

$$l_k = \sqrt{\frac{3EI_x [f]}{RW_x}}$$



нагрузку

$$P = \sqrt{\frac{3EI_x [f] RW_x}{l_k^4}}; \text{ либо } P = \frac{3[f] RI_x}{l_k^3 \epsilon_R},$$

подобрать сечение, и даже материал

### **Выводы:**

1. Первый инвариант определяет гауссову кривизну в данном сечении. Второй инвариант – это интегральная гильбертова характеристика для всей балки.
2. Численное значение инвариантов определяет вид загрузки, хотя нагрузка непосредственно не входит.
3. Для практического применения предлагаемой методики необходимо учитывать:
  - а) назначение – главная балка или второстепенная;
  - б) способ изготовления – прокатная, монолитная, сварная, клееная;
  - в) условия работы;
  - г) специфические свойства материала – металл, бетон, древесина, пластмасса.

### **Литература**

1. Мандриков. Примеры расчета металлических конструкций. – М. Стройиздат, 1991, - 431с.
2. Зельдович Я.Б., Мышкис А.Д. Элементы прикладной математики. – М.: Наука, 1965. - 302с.